

Difrakce elektronů v krystalech, zobrazení atomů



T. Sýkora¹, M. Lanč², J. Krist³

¹ Gymnázium Českolipská,
Českolipská 373, 190 00 Praha 9
tomas.sykora@email.cz

² Gymnázium Otokara Březiny a SOŠ Telč,
Hradecká 235, 588 56 Telč
aris.haf@centrum.cz

³ Mendelovo gymnázium Opava,
Komenského 5, 746 01 Opava 1
SO2@seznam.cz

Difrakcí elektronů v transmisním elektronovém mikroskopu jsme určovali typy krystalových mřížek.

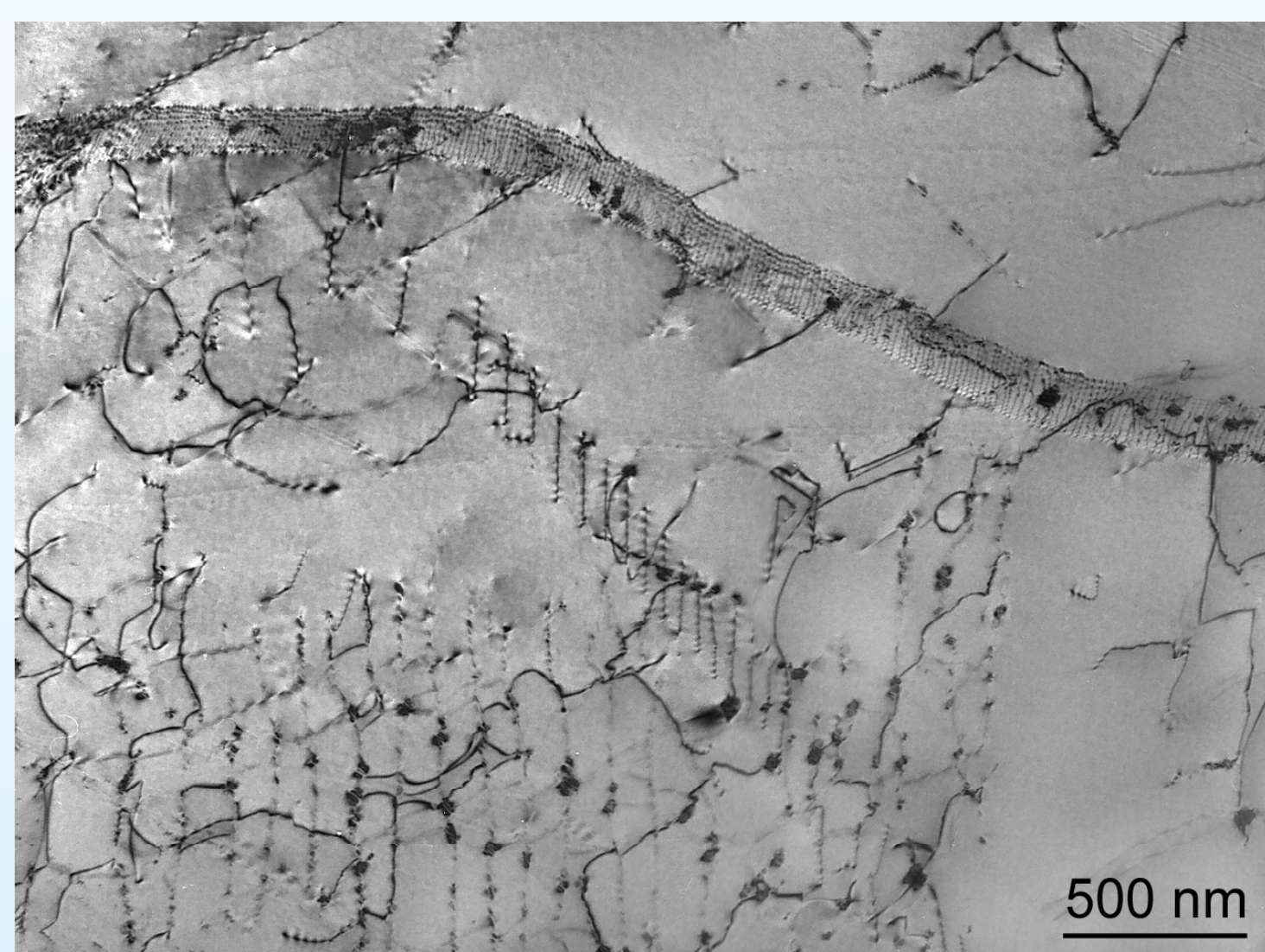
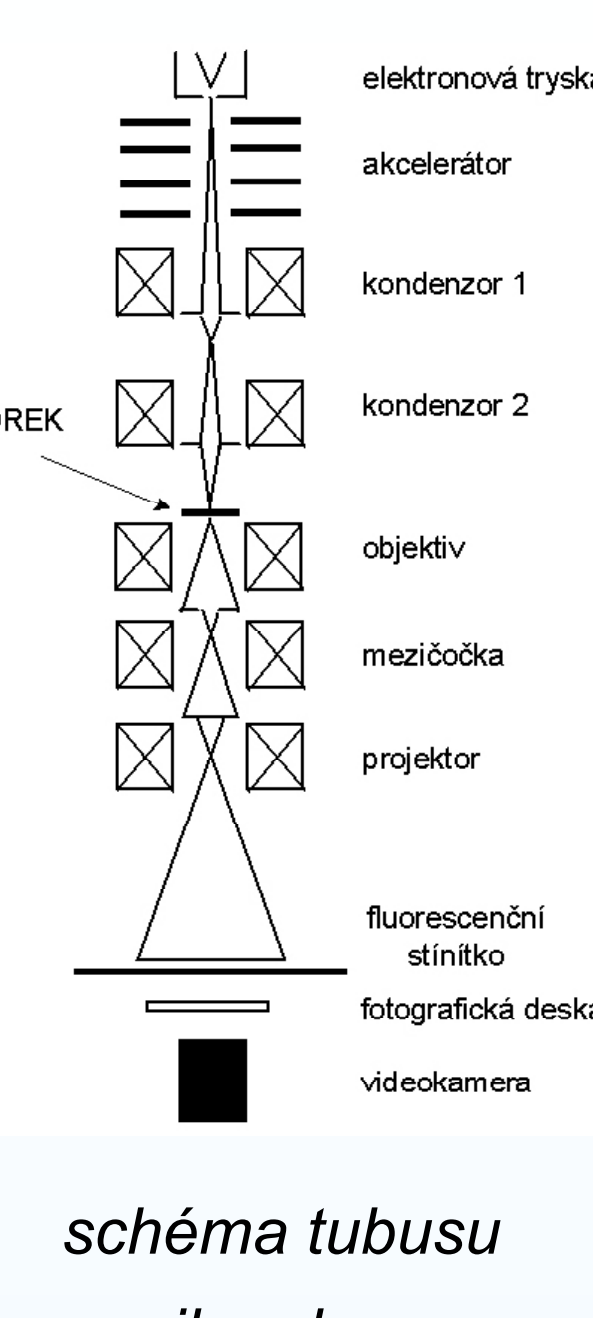
HISTORIE

- 1895 – W. C. Roentgen – objev RTG záření
- 1905 – A. Einstein - fotoelektrický jev elektromagnetické záření se v některých případech chová jako částice – fotony
- 1912 – M. von Laue – 1. RTG difrakční experiment
- 1914 - W. H. Bragg - W. L. Bragg - zákon difrakce
- 1924 – L. de Broglie – vlnový charakter častic
- 1927 - C. J. Davisson – L.H. Germer - ověření de Broglieho hypotézy
- 1927 – H. Busch – magnetická čočka
- 1930 – E. Ruska - elektronový mikroskop

TRANSMISNÍ ELEKTRONOVÁ MIKROSKOPIE

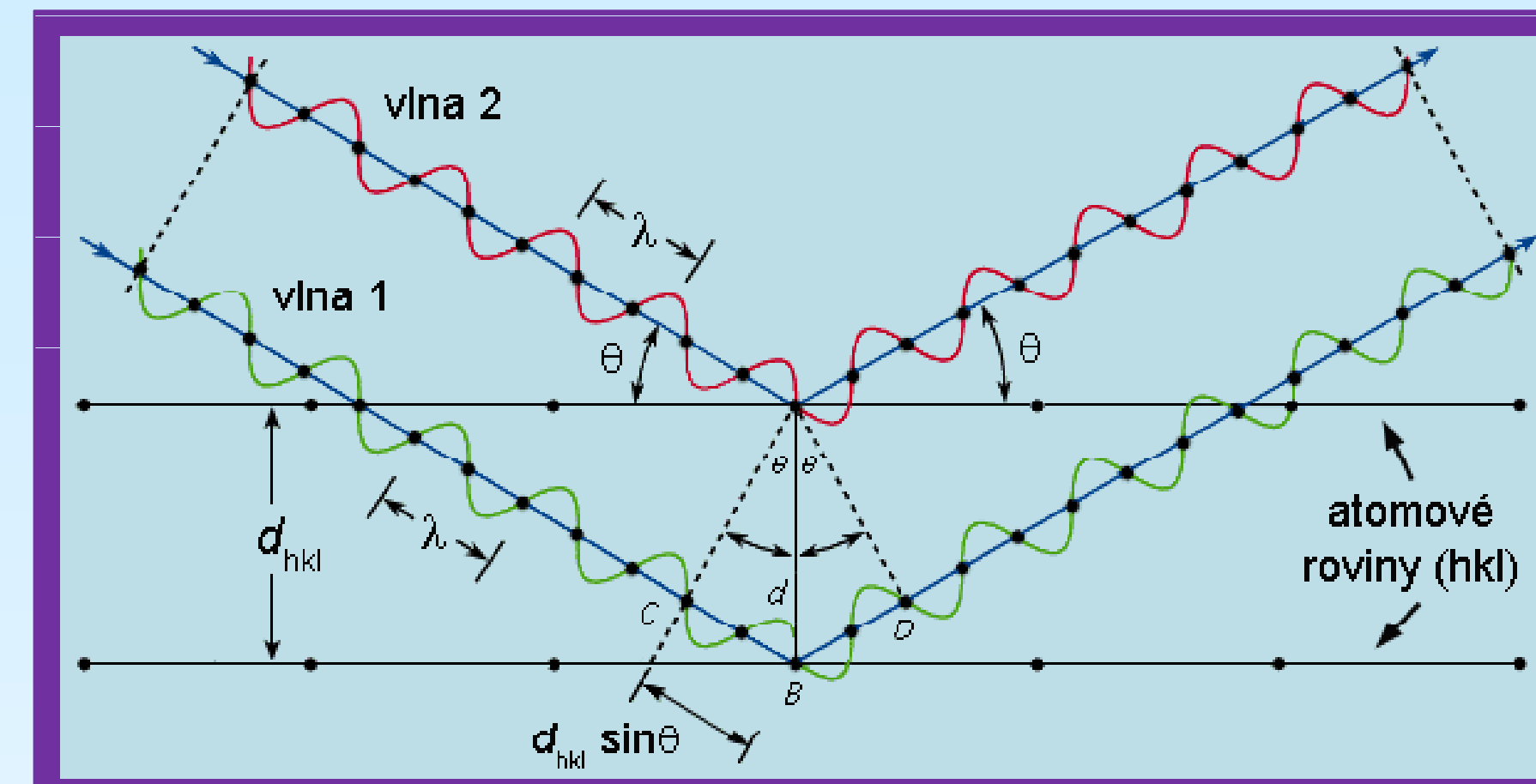
Transmisní (prozařovací) elektronová mikroskopie (TEM) umožňuje zobrazit mikrostrukturu uvnitř materiálu v měřítku od několika mikronů až po atomové rozlišení, pomocí elektronové difrakce určit symetrii krystalové mříže a pokud je mikroskop vybaven příslušnými spektrometry, provést navíc lokální analýzu chemického složení.

TEM JEOL 2000FX
(U = 200 kV, $\lambda = 2,508 \times 10^{-12}$ m)



Dislokace a precipitáty ve slitině Fe-28Al-5Cr (at. %)

BRAGGŮV ZÁKON DIFRAKCE

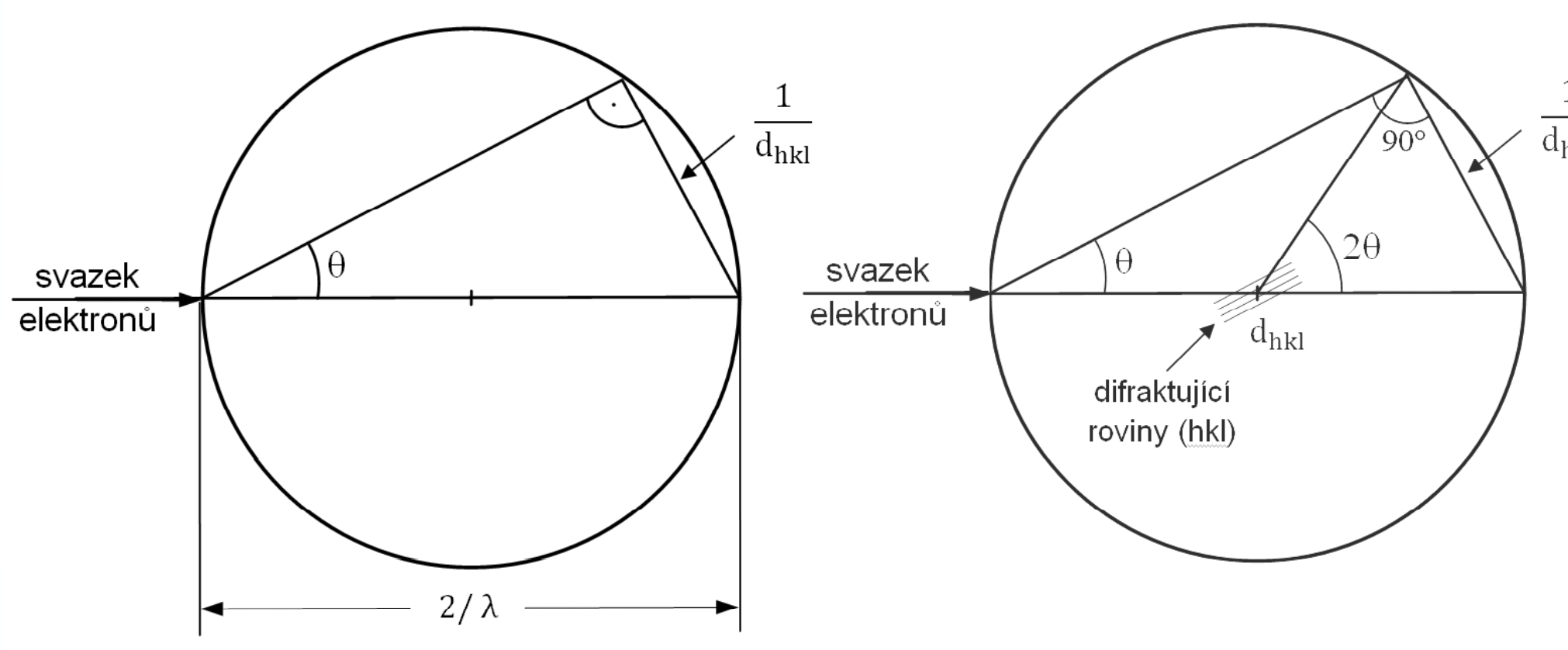


Krystalové roviny o vzdálenosti d_{hkl} difrakuji dopadající záření o vlnové délce λ pod úhlem θ , n značí řadu interference (reflexe).

Matematicky: $2d_{hkl} \sin \theta = n\lambda$

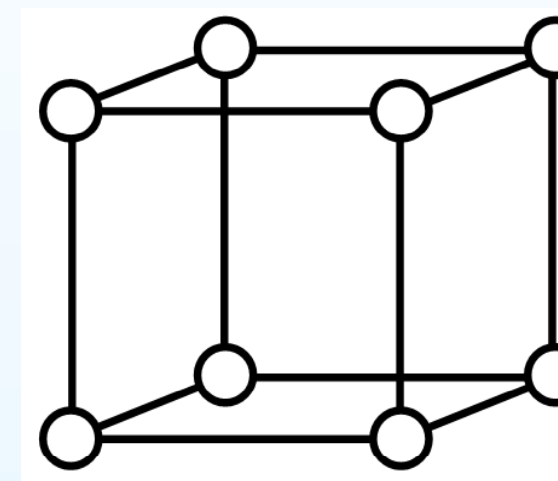
$$\text{Po úpravě: } \sin \theta = \frac{1}{\frac{2}{\lambda} d_{hkl}}$$

Geometrické znázornění:



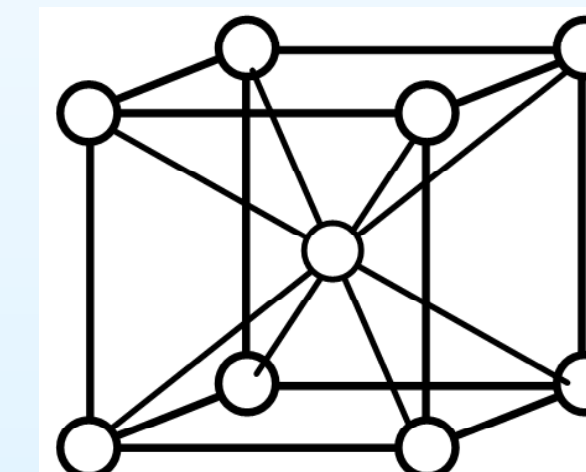
Vzhledem k velmi malé vlnové délce elektronů urychlených napětím 200 kV ($\lambda = 2,508 \times 10^{-12}$ m) jsou Braggy úhly v TEM velmi malé ($\sim 0,5^\circ$), úhly θ na obrázcích jsou pro názornost významně zvětšeny.

KUBICKÉ KRYSTALOVÉ MŘÍŽKY

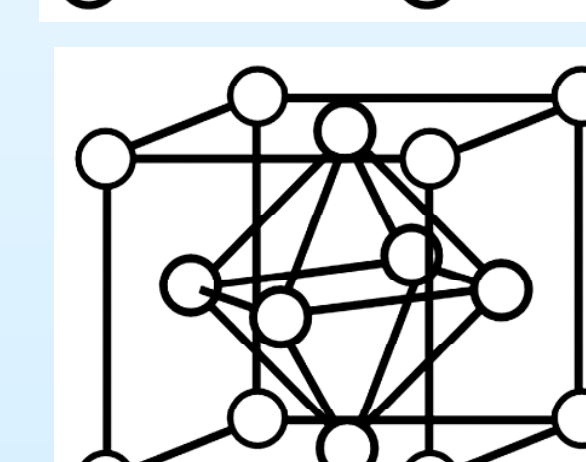


kubická mřížka prostá (primitivní)
anglicky simple cubic - sc
Po, TlCl ...

kubická mřížka prostorově centrována
anglicky body centered cubic - bcc
α-Fe, Mo,

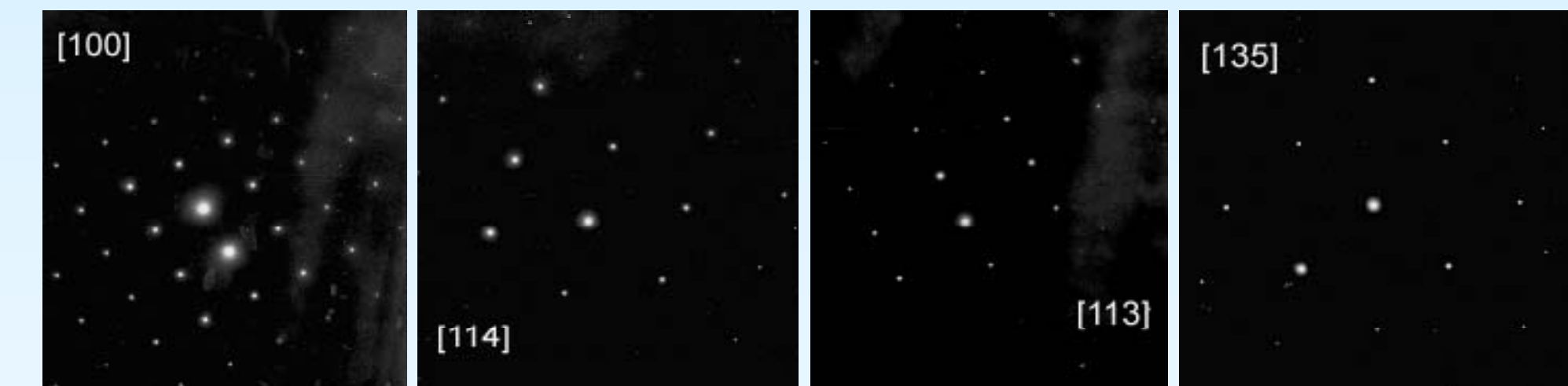
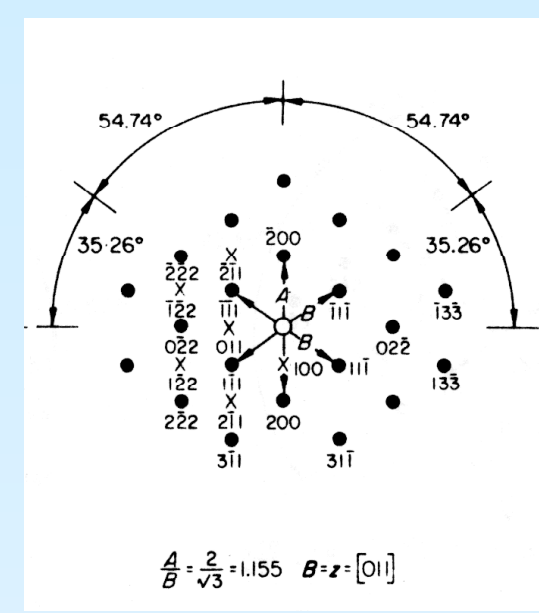


kubická mřížka plošně centrována
anglicky face centered cubic - fcc
γ-Fe Al, Cu, Au, Ni, Ag ...



INDEXOVÁNÍ DIFRAKTOGRAMŮ MONOKRYSTALU Au

Měření úhlů mezi reflexemi, vzdáleností difrakčních stop a porovnávání se standardními difraktogramy pro různé náklony kubické plošně centrovane mřížky.



INDEXOVÁNÍ KRUŽKOVÝCH DIFRAKTOGRAMŮ POLYKRYSTALŮ S VELMI MALÝMI ZRNY (~ 10 nm)

URČOVÁNÍ TYPU KRYSTALOVÉ MŘÍŽKY

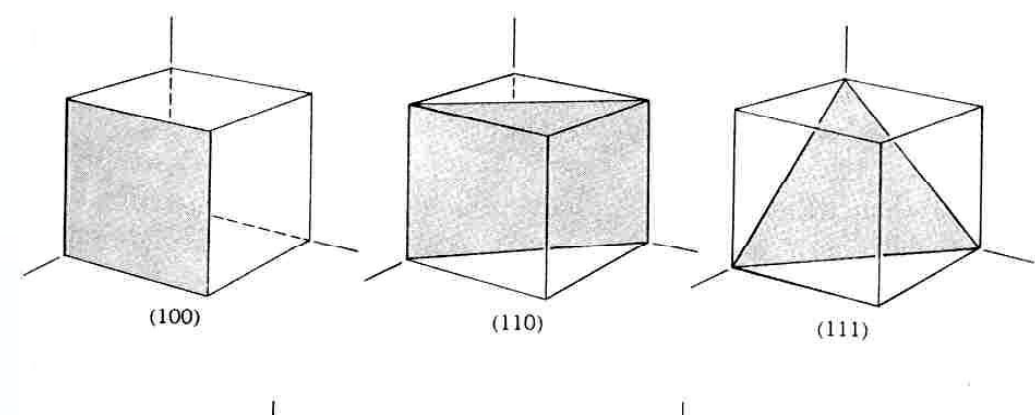
Měření průměru a posloupnosti kroužků, indexování pomocí vztahu pro mezirovinovou vzdálenost d_{hkl} v kubické mřížce

$$d_{hkl} = \frac{a}{\sqrt{h^2 + k^2 + l^2}}$$

Kde a je velikost elementární buňky krystalové mřížky a h, k, l jsou Millerovy indexy krystalových rovin.

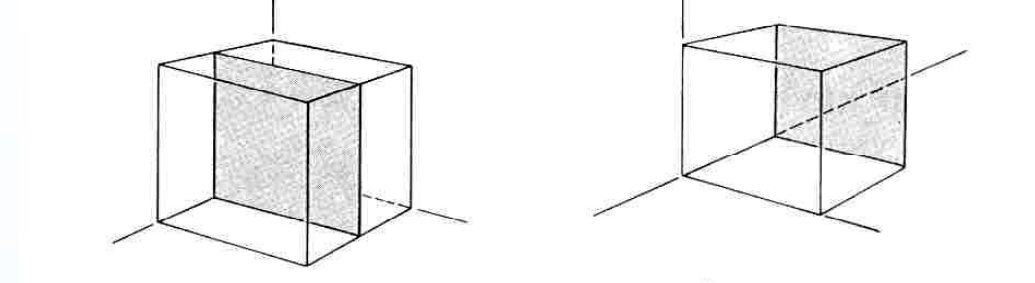
Millerovy indexy krystalových rovin

Pokud rovina prochází počátkem souřadného systému, posuneme ji mimo něj a určíme délky úseků, které rovina vytíná na osách definovaných základními vektory mřížky.



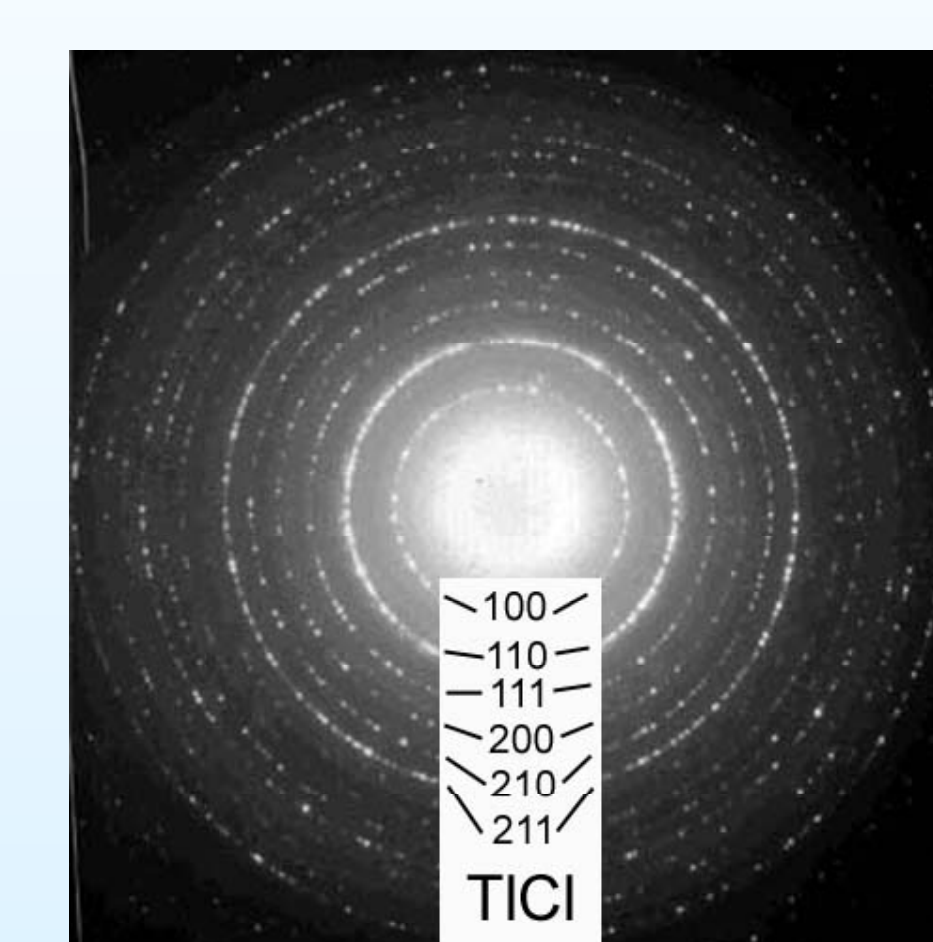
Je-li rovina rovnoběžná s některou z os, je příslušný úsek na této ose roven ∞ a převrácená hodnota $1/\infty = 0$.

Příklady některých nízkoindexových rovin v kubické mřížce jsou na obrázku.

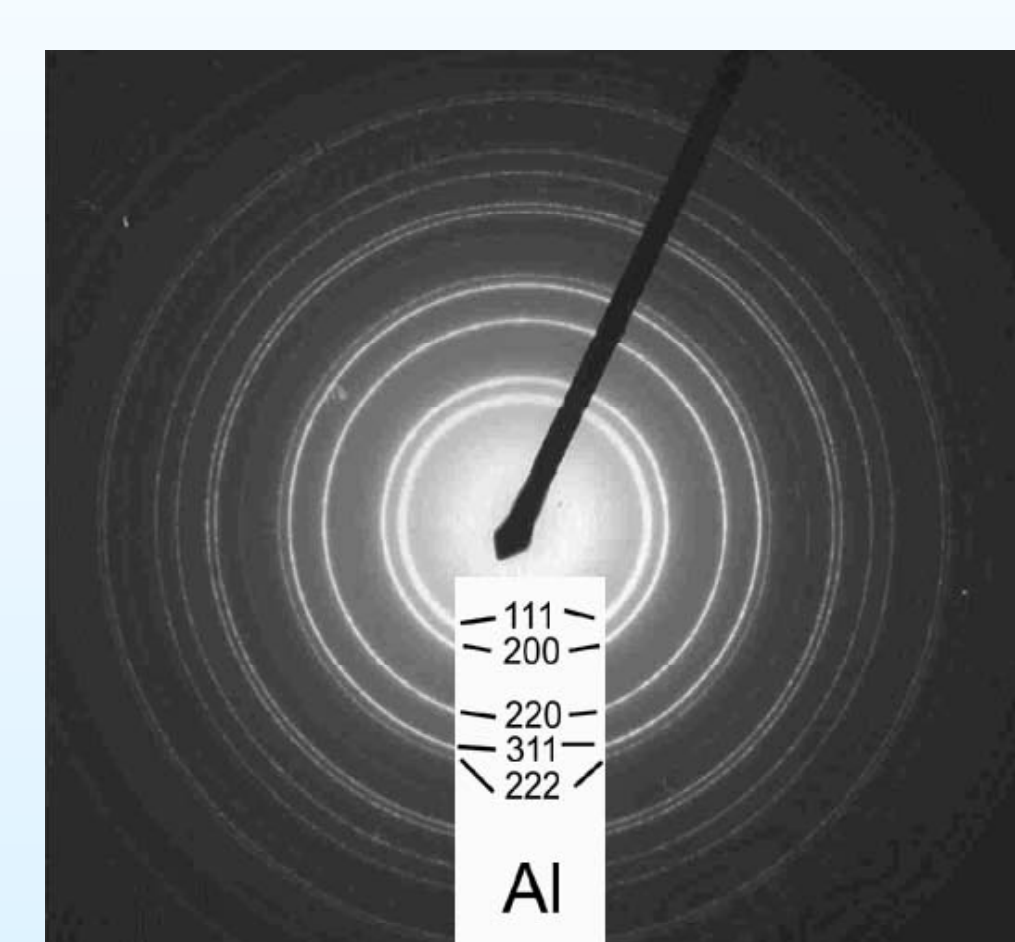


Indexované kružkové difraktogramy

primitivní mřížka TlCl



plošně centrována mřížka Al



V difraktogramu jsou všechny reflexe

zakázané reflexe, po které platí, že jejich indexy h, k, l jsou kombinace lichých a sudých čísel

Závěr: Měli jsme možnost prohlédnout si 200 kV transmisní elektronový mikroskop, který katedra materiálů FJFI ČVUT využívá na MFF UK. Kromě různých krystalů vhodných pro demonstraci difrakce elektronů jsme na mikroskopu pozorovali i vlastní vzorky nanočastic Ag. Fotodokumentace z tohoto pozorování bohužel nebyla ihned k dispozici (vyvolávání negativů mokrou cestou), a proto jsme ji nemohli v tomto příspěvku využít. Seznámili jsme se se základními typy kubických krystalových mřížek, indexováním krystalových rovin, Braggym zákonem difrakce a použitím TEM pro zobrazování krystalových poruch a atomové struktury materiálů.

Reference: [1] KARLÍK, M., Pohled na atomy: vysokozrlišovací elektronová mikroskopie, *Rozhledy matematicko-fyzikální* 72 (č. 4), 1995, 215-222.
[2] KARLÍK, M., Transmisní elektronová mikroskopie: pohled do nitra materiálů, *Čs. čas. fyz.* 55, 2005, 457-464.

Poděkování
Rádi bychom poděkovali všem organizátörům Fyzikálního týdne na FJFI ČVUT v Praze. Zvláštní dík patří doc. RNDr. Miroslavu CIESLAROVÍ, CSc., který obsluhoval TEM, Ing. Ondřejí ŠIMKOVÍ, Dr.-Ing. Petru HAUŠILDOVI a doc. Dr. RNDr. Miroslavu KARLÍKOVI za pomoc se zpracováním výsledků měření a grafickou úpravou posteru.